

01;10;11  
©1995

# НЕАДДИТИВНОСТЬ СТЕПЕНИ ОТРИЦАТЕЛЬНОЙ ИОНИЗАЦИИ ПРИ РАССЕЯНИИ МОЛЕКУЛ

*И. Войцеховский, М. Медведева, В. Ферлегер*

При рассеянии молекулярных ионов с энергией  $E_0 \approx 1 \text{ кэВ}$  поверхностью большинство их диссоциирует при первом же столкновении с атомом поверхности [1]. Далее атомы, входившие в состав молекулы, взаимодействуют с веществом независимо. Однако некоторые характеристики вторично-эмиссионных явлений при определенных условиях являются неаддитивными величинами [1–7]. (Неаддитивность некоторой характеристики  $I$  эмиссионного процесса, инициированного бомбардировкой ионами  $A_n^+$  ( $n$  — число атомов в молекулярном ионе) означает, что величины  $I$  в пересчете на один атом  $A$  в случае бомбардировки пучком моноатомных ( $A_1^+$ ) и молекулярных ионов ( $A_n^+$ ) различны).

Одна из причин неаддитивности, характерная для скользящей бомбардировки или для рассеяния тяжелых частиц, связана с тем, что атомы, входившие в состав одной молекулы, после соударения с поверхностью с некоторой вероятностью претерпевают на отлете упругие и неупругие столкновения между собой, что аналогично процессам взаимодействия после столкновения атомов в газовой фазе [8].

В настоящей работе оценивается степень неаддитивности вероятности отрицательной ионизации атомов водорода при скользящем рассеянии ионов  $H_2^+$  на металле за счет взаимодействия  $H \rightarrow H^+$ , либо  $H \rightarrow H$ , образованных при диссоциации одного иона  $H_2^+$  в приповерхностной области.

Такое взаимодействие приводит к возникновению следующих дополнительных (по сравнению со случаем моноатомной бомбардировки, где действует только электронный обмен) каналов образования и разрушения отрицательных ионов:

*a.* Квазирезонансный переход электрона из атома, который находится вблизи поверхности металла ( $s \leq 5 \text{ \AA}$ , этот атом из-за экранировки заряда ядра электронами проводимости приповерхностной области имеет только один электронный уровень с энергией ионизации  $J \approx 1 \text{ эВ}$  [9]) на уровень электронного сродства атома, находящегося на расстоянии  $s \geq 5 - 10 \text{ \AA}$ .

6. Разрушение отрицательного иона, образованного путем электронного обмена с поверхностью при столкновении с атомом или ионом.

в. Отрицательная ионизация атома при столкновении с другим рассеянным атомом за счет неадиабатического перехода.

Процесс в требует сближения атомов на расстояния порядка атомных, поэтому его сечение существенно меньше, чем процессов *a* и *b* [8].

Определим величину  $Q^-$  — вероятность образования иона  $H^-$  при скользящем рассеянии иона  $H_2^+$ , учитывая как электронный обмен отлетающего атома с поверхностью металла, так и вклад процессов *a* и *b*.

Величину  $Q^-$ , усредненную по траекториям атомов молекулы, можно записать в виде

$$Q^- = \int q^-(v_1, v_2, \Delta t, \Delta \chi) F(v_1, v_2, \Delta t, \Delta \chi) d\xi, \quad (1)$$

где  $\xi$  — совокупность переменных интегрирования, указанных в скобках;  $v_1$  и  $v_2$  — скорости атомов в момент вылета,  $\Delta t$  — промежуток времени между пересечениями поверхности первым и вторым атомами молекулы;  $\Delta \chi$  — расстояние между ними на поверхности;  $q^-(\xi)$  — вероятность эмиссии иона  $H^-$  для двух данных конкретных траекторий атомов;  $F(\xi)$  — функция распределения, описывающая относительную вероятность таких траекторий.

Используя для коэффициента рассеяния атома  $R(v, \chi)$  выражение, полученное в [10], и учитывая, что рассеяние атомов происходит независимо, получим:  $F(\xi) = R(v_1, \chi_1) \times R(v_2, \chi_2)$ .

Величина  $q^-(\xi)$  есть решение кинетического уравнения

$$v_{\perp} \frac{dq^-}{ds} = -(\omega_c^s + \omega_c^a) q^- + (1 - q^-) (\omega_1^s + \omega_1^a) \quad (2)$$

при начальном условии  $q^-(s = s_a) = 0$  ( $s_a$  — расстояние атома от поверхности, на котором появляется уровень сродства [11]),  $v_{\perp}$  — нормальная составляющая скорости атома, отлетающего от поверхности,  $\omega_c^a$  и  $\omega_l^a$  — частоты процессов *a* и *b* соответственно,  $\omega_c^s$  и  $\omega_l^s$  — частоты процессов электронного обмена с поверхностью, захвата электрона на уровень сродства и потери электрона с этого уровня соответственно.

Для расчета частоты  $\omega_c^a$  атом вблизи поверхности, как и в работе [7], моделировался атомом, кулоновский потенциал

ядра которого заменен потенциалом Хюльтена:

$$V(r) = -V_0 \frac{\exp(-ra^{-1})}{1 - \exp(-ra^{-1})}, \quad (3)$$

где  $r$  — расстояние между электроном и ядром. Постоянная  $a$  имеет смысл радиуса экранирования  $a = a(s)$ ,  $V_0 = a^{-1}$  (а. е.).

Короткодействующий потенциал, определяющий систему уровней отрицательного иона, также аппроксимируется потенциалом Хюльтена с радиусом экранировки, дающим известное значение энергии сродства  $H^-$ .

Учитывая лишь надбарьерные переходы, частоту  $\omega_c^a$  запишем в виде

$$\omega_c^a \approx \begin{cases} \frac{u}{R+r} \left[ 1 + \left[ \frac{s_2 - s^-}{\Delta s} \right]^2 \right]^{-1} & R \leq R_k, \\ 0 & R > R_k \end{cases}, \quad (4)$$

где  $u$  — скорость электрона на уровне сродства,  $r$  — сумма радиусов атомов,  $\Delta s$  определяется шириной уровня, характеризующей электронный обмен с поверхностью,  $s^-$  — расстояние от поверхности, на котором энергия ионизации атома равна энергии сродства,  $R_k \approx 5.4\text{\AA}$  — расстояние, на котором исчезает потенциальный барьер между атомом и ионом.

Частота процесса  $b$   $\omega_l^a$  аппроксимируется выражением [12]:

$$\omega_l^a(R) = \begin{cases} \frac{\sqrt{2}}{3} \frac{\alpha^2}{(1-q)^2} q^{\frac{3}{2}} & R \leq R_1, \\ 0 & R > R_1 \end{cases}, \quad (5)$$

где  $q = 1 - R \cdot R_1^{-1}$ ,  $\alpha^{-1} = R_1 \approx 6$  а. е.

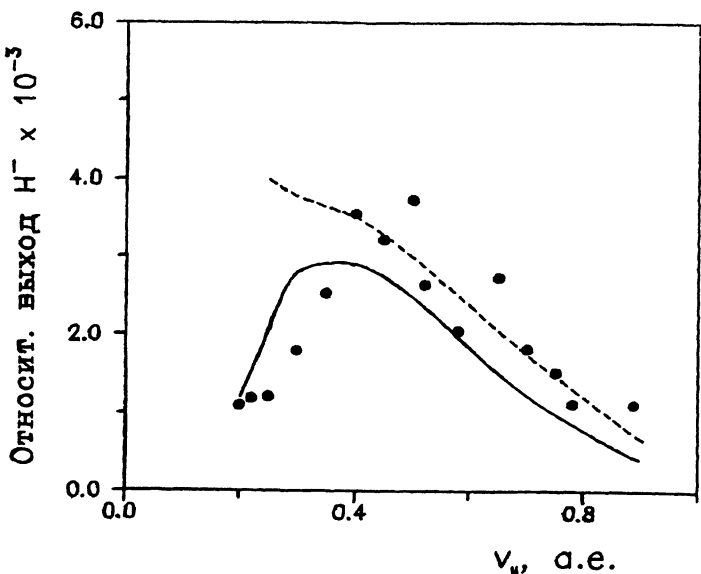
Зависимость  $\omega_{c,l}^s$  от расстояния  $s$  до поверхности выбиралась в виде

$$\omega_{c,l}^s = A_{c,l} \exp(-\alpha_{c,l}s), \quad (6)$$

где  $A$  и  $\alpha$  — константы, зависящие от типа процесса, а также от параллельной ( $v_{||}$ ) и нормальной ( $v_{\perp}$ ) составляющих скорости отлетающей частицы [11].

Степень неаддитивности эмиссии ионов  $H^-$  оценивалась путем расчета зависимости выхода этих ионов от  $v_{||}$ .

На рисунке показаны зависимости относительного выхода ионов  $H^-$  от  $v_{||}$ , измеренные экспериментально для  $v_{\perp} = 0.02$  а. е. [13], рассчитанные в работе [11] для случая



Зависимости относительного выхода ионов  $H^-$  от параллельной составляющей скорости первичного пучка. Точки (данные эксперимента [13]) и сплошная линия (расчет в работе [11]) — для рассеяния атомов  $H$ , штриховая линия — расчет по формулам (1, 2, 4, 5) для рассеяния молекул  $H_2^+$ .

рассеяния атомов  $H$  и полученные в данной работе для рассеяния ионов  $H_2^+$  по формулам (1, 2, 4, 5). В случае молекулярного пучка за счет вклада процессов *a* и *b* имеет место существенное увеличение выхода ионов  $H^-$ . При уменьшении  $v_{\parallel}$  уменьшается время взаимодействия атома с поверхностью. В результате уменьшается расстояние между точками пересечения поверхности атомами, что приводит к увеличению вклада межатомных электронных процессов в эмиссию  $H^-$ .

Если ионами  $H_2^+$  бомбить диэлектрик, то из-за низкой электронной плотности у поверхности положение уровней атомов, образованных при диссоциации  $H_2^+$ , не будет существенно отличаться от положения уровней свободных атомов. При этих условиях процесс *a* невозможен, а разрушение ионов  $H^-$  в процессе *b* приведет к уменьшению выхода последних по сравнению с атомарной бомбардировкой. Следовательно, неаддитивность в случае диэлектрика носит инверсный характер.

Отметим также, что различие в выходе отрицательных ионов при атомарной и молекулярной бомбардиров-

ках должно особенно сильно проявляться при рассеянии медленных ( $E_0 \leq 1$  кэВ) тяжелых частиц на большие углы. В этом случае взаимодействие атомов молекулы после рассеяния происходит столь быстро, что атомы не успевают разойтись, малые параметры столкновения становятся достижимы, вследствие чего вклад процесса в резко увеличивается. Процесс в пороговый, что должно проявляться в резком росте выхода отрицательных ионов в зависимости от начальной энергии молекул [14].

Данная работа была частично поддержана Международным научным фондом, грант N RU 2000.

### Список литературы

- [1] Heiland W., Beitat U., Taglauer E. // Phys. Rev. 1979. V. 19. P. 1677–1682.
- [2] Willerding B., Heiland W., Snowdon K. // Phys. Rev. Lett. 1984. V. 53. P. 2031–2034.
- [3] Евстигнеев С.А., Звонков С., Чичеров В. // ЖЭТФ. 1982. Т. 82. С. 1091–1102.
- [4] Christensen C.H., Jensen J.O., Lefmann K. // Nucl. Instrum. and Meth. 1986. V. B13. P. 230–241.
- [5] Битенский И.С., Гиленко Я.С., Парилис Э.С. // ЖЭТФ. 1988. Т. 94. С. 66–75.
- [6] Bitensky I.S., Parilis E.S., Wojciechowski I.A. // Nucl. Instrum. and Meth. 1993. V. B73. P. 333–340.
- [7] Baltenkov A.S., Ferleger V.Kh., Medvedeva M.V., Wojciechowski I.A. // Nucl. Instrum. and Meth. 1994. V. B94. P. 59–65.
- [8] Никитин Е.Е., Смирнов Б.М. Атомно-молекулярные процессы в задачах с решениями. Москва, 1988. 303 с.
- [9] Трубников Б.А., Яевлинский Ю.И. // ЖЭТФ. 1965. Т. 48. С. 1618–1619.
- [10] Ремизович В., Рязанов М., Тилинин И. // ДАН СССР. 1980. Т. 251. С. 848–851.
- [11] Borisov A. // Thesis. Orsay. 1992. P. 226.
- [12] Демков Ю.Н., Друкарев Г.Ф., Кучинский В.В. // ЖЭТФ. 1970. Т. 58. С. 944–951.
- [13] Wyputta F., Zimny R., Winter H. // Nucl. Instrum. and Meth. 1991. V. B58. P. 379–385.
- [14] Reijnen P.H.F., Kleyn A.W., Imke U., Snowdon K.J. // Nucl. Instrum. and Meth. 1988. V. B33. P. 451–454.

Институт электроники  
им. У.А. Арифова  
Ташкент, Узбекистан

Поступило в Редакцию  
28 октября 1994 г.